

<論 文>

# 모아레法과 스라브相似의 複合에 의한 應力擴大係數의 實驗的 解析法

—有限板 크랙의  $K_I$  및  $K_{II}$ 의 解析—

崔善浩\* · 權在度\* · 徐仁輔\*\* · 金鍾周\*\* · 蔡泳皙\*

(1982年 6月 19日 接受)

## Experimental Analysis of Stress Intensity Factors by Combination with Moire Method and Slab Analogy

Sun Ho Choi, Jae Do Kwon, In Bo Suh, Joung Joo Kim and Young Suck Chai

### Abstract

The slab analogy method was introduced in the 1920's for the first time as a new experimental stress analysis method. Notwithstanding its theoretical propriety, this method has not been recognized as efficient one because of its difficulty in practical measurement of the slab curvature.

In this paper, aiming at experimental determination of two-dimensional stress intensity factors(S. I. F) of arbitrarily shaped cracks which had been regarded as almost impossible by conventional method, the slab analogy was reevaluated. Measuring of slab curvature was replaced by three simple measuring factors to overcome vital slab-analogy's shortcomming by joint use of the shadow-moire method. A determination fomula was also derived from the theory of fracture mechanics.

By this newly exploited method, it was found that the slab analogy still has its great advantage in determination of S.I.F. of arbitrarily shaped cracks with considerable accuracy compared with existent experimental methods.

### 1. 緒 論

平板內 크랙의 應力擴大係數의 實驗的 解析法으로서 는 롬프라이언스(compliance)法, 光彈性 또는 스트레 인게이지(strain gauge)法 等の 여러 方法이 試圖되어 왔고 그 有効性이 立證되었다.

그러나 이들 方法에는 各己 一長一短이 있어 屈折, 分岐, 分布균열을 包含한 單純하지 않는 任意型 균열 까지 생각하면 새로운 解析法의 開發이 要求된다. 著 者の 한사람은 이미 薄膜相似의 理論에 따라 樹脂板을

利用한  $K_{II}$ 의 實驗的 解析을 試圖하였고,<sup>1)</sup> 이어서 스 라브 相似(slab analogy)의 理論을 導入한 實驗法을 開發하여 이를 有限板 中央 直線균열의  $K_I$ 解析에 適 用하여 그 有効性을 確證한 바 있었다.<sup>2)</sup> 本 研究에서 는 이를 더욱 擴張하여 任意型의 二次元 균열에 適 用 解析함으로써 이 方法의 有効性을 立證하고, 새로운 二次元 應力擴大係數의 實驗法으로 提示함과 아울러 스라브 相似理論의 破壞力學에 있어서 再開發을 試圖 하였다.

### 2. 스라브 相似 理論에 依한 應力解析

二次元 問題의 彈性 解析에서 에어리(airy)의 應力

\* 正會員, 嶺南大學校 機械設計學科

\*\*正會員, 嶺南工業專門大學, 機械科

函數와 스투브의 面外 굽힘의 수직變位  $\zeta$ 의 사이에는 近似的으로 相似가 成立한다는 것은 오래 前부터 알려져 있다.<sup>3)</sup> 지금 굽힘 剛性係數를  $D = Eh^3/12(1 - \mu^2)$  ( $E$ : 영율(yung's modulus)  $h$ : 스투브의 두께,  $\mu$ : 프와송비)라 하고 스투브의 처짐이 적은 범위에서 스투브의 體積力를 無視하면

$$D\nabla^4 \xi = 0 \quad (1)$$

가 成立한다. 또한 여기에 對한 解로서 스투브위의 한 點( $x, y$ )에서의 굽힘形狀은 充分한 精密度로

$$\xi = (k_x/2)x^2 + (k_y/2)y^2 - k_{xy}xy \quad (2)$$

로 나타낼 수 있다. 여기서  $k_x, k_y$  및  $k_{xy}$ 는 그 點의 曲率成分이고

$$k_x = \partial^2 \xi / \partial x^2, \quad k_y = \partial^2 \xi / \partial y^2, \quad k_{xy} = -\partial^2 \xi / \partial x \partial y \quad (3)$$

이다. 한편 에어리의 應力函數  $U$ 로써 應力成分을 나타내면 다음과 같다.

$$\sigma_x = \partial^2 U / \partial y^2, \quad \sigma_y = \partial^2 U / \partial x^2, \quad \tau_{xy} = -\partial^2 U / \partial x \partial y \quad (4)$$

$$\nabla^4 U = 0$$

任意的 境界  $C_i$ 에서의 境界條件은 境界에 作用하는 外力의 成分을  $\bar{X}, \bar{Y}$ , 境界面의 方向余弦을( $l, m, n$ ), 境界에 따른 長이를  $s$ , 境界의 法線方向을  $\nu$ 라 하면

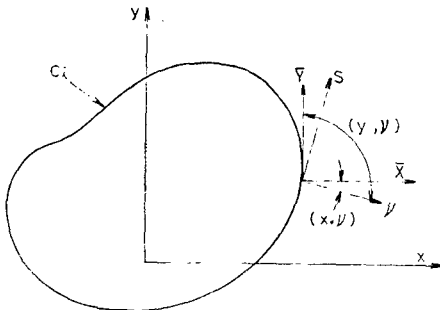


Fig. 1 Boundary conditions for slab analogy.

$$U_{,i} = \int_0^s (B_i l - A_i m) ds + \alpha_i x + \beta_i y + \gamma_i$$

$$\partial U / \partial \nu |_{C_i} = A_i l + B_i m + \alpha_i l + \beta_i m \quad (5)$$

( $i = 1, 2, 3, \dots, n$ )

$$A_i = - \int_0^s \bar{Y} ds, \quad B_i = \int_0^s \bar{X} ds$$

로 나타낼 수 있다. 여기서  $\alpha_i, \beta_i, \gamma_i$ 는 境界  $C_i$ 에 關한 常數이고 應力에는 影響을 미치지 않는다. 式(3)의 曲率成分과 式(4)의 應力成分을 相似시키면

$$\sigma_x \gamma = \frac{\partial^2 \xi}{\partial y^2}, \quad \sigma_y = \gamma \frac{\partial^2 \xi}{\partial x^2}, \quad \tau_{xy} = \gamma \frac{\partial^2 \xi}{\partial x \partial y}, \quad U = \gamma \xi \quad (6)$$

이다. 여기서  $\gamma$ 는 板의 曲率과 應力의 關係를 나타내는 스투브常數이다. 또 이때의 境界條件은

$$\gamma \xi_{,i} = \int_0^s (B_i l - A_i m) ds + \alpha_i x + \beta_i y + \gamma_i \quad (7)$$

$$\gamma \frac{\partial \xi}{\partial \nu} |_{C_i} = A_i l + B_i m + \alpha_i l + \beta_i m \quad (7)$$

( $i = 1, 2, 3, \dots, n$ )

이다. 以上の 理論에서 任意的 境界  $C_i$ 를 가지는 平板이 外力를 받을때 境界條件(7)을 만족하는 굽힘을 平板에 주면 式(6)에 依하여 그 應力分布를 平板의 曲率分布로 對應시킬 수 있다. 특히 이때 自由境界가 되는 노치(notch) 균열 등의 모든 內外 境界는 剛體로 바꾸어 놓을 수가 있다.

### 3. 引張을 받는 內部 균열을 가진 平板의 스투브相似變換

위의 스투브相似 理論을 Fig. 2와 같이 引張應力을 받는 平板內의 四角型 內部境界 ABCD에 適用해 보면 다음과 같다.

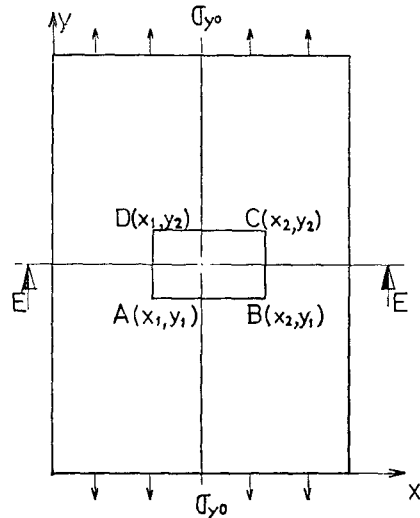


Fig. 2 Pure tension of plate with inner boundary.

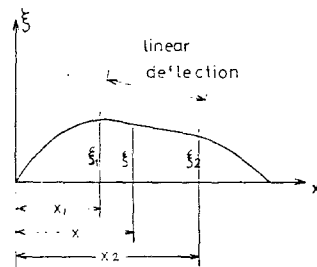


Fig. 3 Sectional deflection curve of slab.

a) 境界  $AB$ 에 對하여서는  $\sigma_x \neq 0, \sigma_y = 0, (l, m, n) = (0, -1, 0)$ 의 條件을 式(5)~(7)에 適用하면  $\bar{X} = 0, \bar{Y} = 0, A_i = 0, B_i = 0$ 가 됨으로

$$\begin{aligned} \gamma \xi_i ]_{AB} &= \alpha_i x + \beta_i y + \gamma_i = mx + k \\ \gamma \partial \xi_i / \partial \nu_i ]_{AB} &= -\beta_i \end{aligned} \quad (8)$$

b) 境界 BC 에서는  $\sigma_y \neq 0, \sigma_x = 0, \tau_{xy} = 0, (l, m, n) = (1, 0, 0)$  이므로  $\bar{X} = 0, \bar{Y} = 0, A_i = 0, B_i = 0$  가 되고

$$\begin{aligned} \gamma \xi_i ]_{BC} &= \alpha_i x_2 + \beta_i y + \gamma_i = mx_2 + k \\ \gamma \partial \xi_i / \partial \nu_i ]_{BC} &= \alpha_i \end{aligned} \quad (9)$$

c) 境界 CD 에서는  $\sigma_x \neq 0, \sigma_y = 0, \tau_{xy} = 0, (l, m, n) = (0, 1, 0)$  에서  $\bar{X} = 0, \bar{Y} = 0, A_i = 0, B_i = 0$  가 되어

$$\begin{aligned} \gamma \xi_i ]_{CD} &= \alpha_i x + \beta_i y_2 + \gamma_i = mx + k \\ \gamma \partial \xi_i / \partial \nu_i ]_{CD} &= \beta_i \end{aligned} \quad (10)$$

d) 境界 DA 에서는  $\sigma_x \neq 0, \sigma_y = 0, \tau_{xy} = 0, (l, m, n) = (-1, 0, 0)$  에서  $\bar{X} = 0, \bar{Y} = 0, A_i = 0, B_i = 0$  가 되고

$$\begin{aligned} \gamma \xi_i ]_{DA} &= \alpha_i x_1 + \beta_i y + \gamma_i = mx_1 + k \\ \gamma \partial \xi_i / \partial \nu_i &= -\alpha_i \end{aligned} \quad (11)$$

가 된다. 위의 關係式을 E-E 斷面에 對한 처짐曲線으로 나타내면 Fig. 3 과 같다. 式 (8)~(11)의 常數 m 및 k 는  $x_1$  및  $x_2$  에서의 板의 수직變位  $\xi_1, \xi_2$  를 測定하면 다음의 境界 斷面 方程式에서 구할 수 있다.

$$\xi = \frac{\xi_2 - \xi_1}{x_2 - x_1} x + \frac{x_2 \xi_1 - x_1 \xi_2}{x_2 - x_1} \quad (12)$$

Fig. 3 과 같은 變形을 얻기 위하여서는 Fig. 4(a)와 같은 剛體拘束과 荷重裝置를 使用하면 된다.

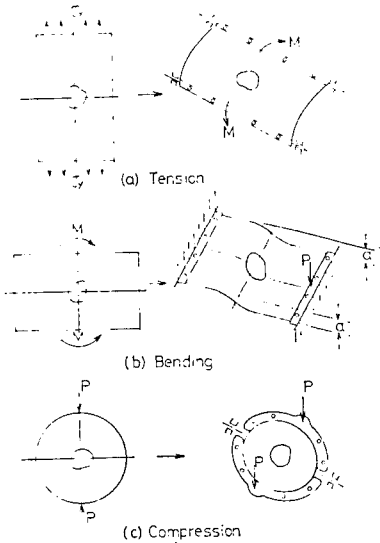


Fig. 4 Typical slab analogy transformations.

任意型의 內部境界에 對해서도 式 (8)~(12)의 關係가 剛體境界周圍에서 그대로 成立하며, 特히 境界의 끝이 銳利한 Crack 의 경우에 對해서도 境界先端의 曲率半徑  $\rho$  를 0 으로 간주하면 이 理論이 그대로 適用할 수 있다.

#### 4. 스라브相似理論에 依한 有限板의 二次元應力擴大係數( $K_I, K_{II}$ )의 決定法

Fig. 5 와 같은 任意型균열을 가진 平板에 引張應力  $\sigma_0$  가 作用한다고 하고 y 축과  $\beta$  를 이루는 Crack 先端의 接線方向을  $x'$  라 하면, 先端부근의 應力成分  $\sigma_x', \sigma_y'$  및  $\tau_{xy}'$  는 極座標( $r, \theta$ )로서 다음과 같은 破壞力學上的 關係를 가진다.

$$\begin{aligned} \sigma_x' &= \frac{K_I}{\sqrt{2\pi r}} \cos \frac{\theta}{2} \left( 1 - \sin \frac{\theta}{2} \sin \frac{3\theta}{2} \right) \\ &\quad - \frac{K_{II}}{\sqrt{2\pi r}} \sin \frac{\theta}{2} \left( 2 + \cos \frac{\theta}{2} \cos \frac{3\theta}{2} \right) + \sigma_0 \cos 2\beta \\ \sigma_y' &= \frac{K_I}{\sqrt{2\pi r}} \cos \frac{\theta}{2} \left( 1 + \sin \frac{\theta}{2} \sin \frac{3\theta}{2} \right) \\ &\quad + \frac{K_{II}}{\sqrt{2\pi r}} \sin \frac{\theta}{2} \cos \frac{\theta}{2} \cos \frac{3\theta}{2} \\ \tau_{xy}' &= \frac{K_I}{\sqrt{2\pi r}} \sin \frac{\theta}{2} \cos \frac{\theta}{2} \cos \frac{3\theta}{2} \\ &\quad + \frac{K_{II}}{\sqrt{2\pi r}} \cos \frac{\theta}{2} \left( 1 - \sin \frac{\theta}{2} \sin \frac{3\theta}{2} \right) \end{aligned} \quad (13)$$

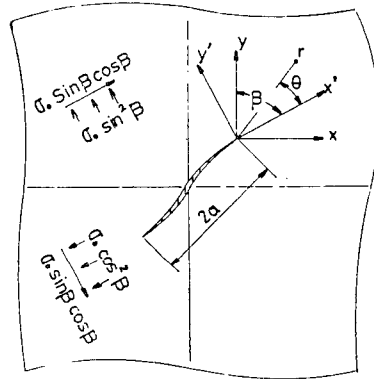


Fig. 5 Tension of rectangular plate with arbitrary shaped crack.

여기서  $\theta = 0$  인  $x'$  軸上에서는 式 (13)의 第2式에서 아래의 式이 成立한다.

$$\sigma_y' = \frac{K_I}{\sqrt{2\pi x'}} + 0(x^{\frac{3}{2}}), \quad K_I = [\sigma_y' - 0(x^{\frac{3}{2}})] \sqrt{2\pi x'} \quad (14)$$

스라브 相似理論에 依하여  $K_I$  을 決定하려면 對象 Crack 과 同型의 剛體를 彈性板에 埋入하고, Fig. 4(a)의 굽힘을 주어, 균열 부근의 한點  $x'$  에서의 板의 曲率을 測定하여  $\sigma_y'$  를 決定하면 式 (14)에서 얻을 수 있다. 그러나 이는 理論上的 事實일뿐 實地는 式 (6)에서 보는 바와 같이 曲率은 變位  $\xi$  의 二階微分으로

表現되기 때문에 誤差가 매우 크고, 이것이 곧 스타브相似理論의 最大의 缺點이 되고 있다.<sup>4)</sup> 이 誤差를 줄이기 위하여서는 均열부근의 應力の 理論式을 變位  $\xi$ 로 나타내고  $\xi$ 의 測定에 依하여 直接  $K$ 를 얻는 것이 有効하다.

式 (14)에 高次項  $O(x^3)$ 의 影響을 無視 ( $x' \ll 1$ )하고 스타브相似理論을 適用하면 다음과 같다.

$$\gamma \frac{\partial^2 \xi_x'}{\partial x'^2} = -\frac{K_1}{\sqrt{2\pi x'}} \quad (15)$$

여기서 스타브常數  $\gamma$ 는 均열에서 充分히 떨어진 곳의 應力狀態에서 다음과 같이 決定할 수 있다.

$$\frac{\gamma}{R_x'} = \sigma_0 \sin^2 \beta, \quad \gamma = \sigma_0 R_x' \sin^2 \beta \quad (16)$$

여기서  $R_x'$ 는 均열에서 充分히 떨어진 곳에서 板의  $x'$  方向 曲率半徑이다. 式 (16)을 式 (15)에 代入하여 두 번 積分하면  $\xi$ 에 關한 다음 式을 얻을 수 있다.

$$R_x' \xi_x' = c_1 + c_2 x' + \frac{4}{3\sqrt{2\pi}} \frac{K_1}{\sigma_0} \frac{x'^{3/2}}{\sin^2 \beta} \quad (17)$$

式 (17)에서 均열先端을 細長한 橢圓( $\rho \rightarrow 0$ )으로 간주하면 式 (7)의 第2式에서  $\partial \xi / \partial v|_{r=0}$ 가 되고, 또  $\xi$ 의 原點을 均열先端으로 잡음으로써  $c_1$  및  $c_2$ 는 0가 되고 다음의  $K_1$  決定式을 얻을 수 있다.

$$\frac{K_1}{\sigma_0} = \frac{3\sqrt{2\pi}}{4} \left( \frac{R_x' \xi_x'}{x'^{3/2}} \right) \sin^2 \beta \quad (18)$$

式 (18)에서 均열先端 부근의 한 點  $x'$ 에 對한  $R_x'$  및  $\xi_x'$ 만 測定하면  $\frac{K_1}{\sigma_0}$ 을 決定할 수 있다. 또 式 (13)의 第1式에서  $\theta = -\frac{\pi}{2}$ 을 代入하여 정리하면 다음 式을 얻을 수 있다.

$$\sigma_x' = \frac{1}{4\sqrt{\pi}} = (K_1 + 3K_{II}) y'^{-1/2} + \sigma_0 \cos 2\beta \quad (19)$$

式 (19)에서 스타브常數

$$\gamma = R_x' \sigma_0 \cos^2 \beta \quad (20)$$

를 간단하여 앞에서와 같이 스타브相似變換을 주어 整理하면 다음과 같은  $K_{II}$  決定式을 얻을 수 있다.

$$\begin{aligned} \frac{K_{II}}{\sigma_0} &= \left( \frac{\sqrt{\pi} R_x' \xi_x'}{y'^{3/2}} \right) \cos^2 \beta - \frac{\sqrt{\pi} y'}{2} \cos 2\beta \\ &\quad - \frac{1}{3} \frac{K_1}{\sigma_0} \end{aligned} \quad (21)$$

式 (18)에서 얻은  $\frac{K_1}{\sigma_0}$  값과 均열先端에서의 거리  $y'$ 에 對應하는  $R_x'$ ,  $\xi_x'$ 를 實驗的으로 測定하면  $\frac{K_{II}}{\sigma_0}$ 를 決定할 수 있다.

## 5. 實驗

### 5.1. 實驗材料의 選擇

스타브相似理論에 따르면 實驗에 使用되는 彈性平板의 두께가 얇으면 얇을수록 精確한 變位曲線을 얻을 수 있고 實驗 精密度가 높아지며 自重에 依해서 發生하는 變位の 影響도 적다. 本 研究에서는 比較的 무게가 가볍고 彈性係數가 큰 硬質 비닐板(vinyl plate)을 使用하였으며 材質 및 두께가 均一한 것을 選擇하였다. 이 板의 두께는 0.5~0.8mm가 適當하였으며, 샤도우 모아레(shadow moire)法의 效果的인 適用을 위하여 板의 表面에 白色水性페인트 噴霧器로써 板의 수직 上方에서 水平으로 분사하여 粒子的 自重에 依하여 均一하게 塗布되도록 하였다.

### 5.2. 均열의 製作

剛體 均열은 얇은 鋼板(두께 0.1mm)을 使用하여 解析對象과 同一한 모양으로 만들고 이를 加熱하여 비닐板의 所定의 位置에 壓入, 슬릿 slit를 만든후 強力 接着劑로 固定하였다. 이와같이 하면 均열주변의 비닐板에 비하여 均열의 剛性이 월등하게 크므로 스타브相似理論을 만족하는 境界條件을 얻을 수 있다. 均열의 壓入에 使用된 加熱 裝置는 Fig. 6과 같이 電氣인두 끝에 剛體均열을 부착하여 使用하였다.

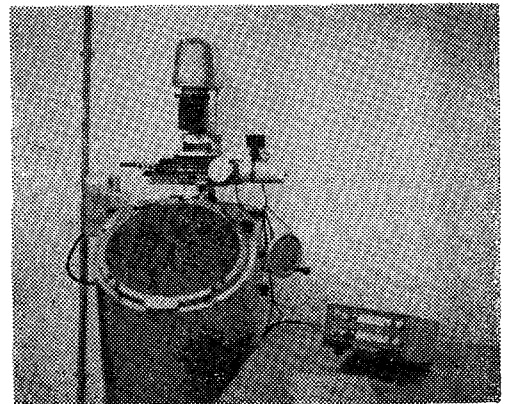
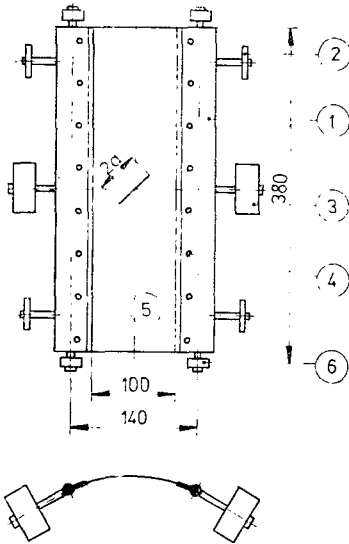


Fig. 6 Heating device.

### 5.3. 荷重 裝置

Fig. 7은 試驗片에 均一한 굽힘 Moment를 주는 荷重裝置를 나타낸 것이다. 이 裝置의 크렘핑板(clamping plate)는 試驗片과의 미끄럼을 없애기 위해서 試驗片



- 1. Clamping plate
- 2. Balancing weight
- 3. Loading weight
- 4. Set screw
- 5. Specimen
- 6. Bearing

Fig. 7 Schematic diagram of loading device.

과 接觸하는 內面은 研削加工을 하여 40mm 간격으로 볼트(bolt)를 체결하였다. 또 試驗片의 굽힘에 의하여 생기는 水平張力을 除去하기 위하여 크럼핑 板의 支持軸끝에 볼 베어링(ball bearing)을 設置하여 滑軌道위를 自由롭게 움직일 수 있도록 하였으며, 크럼핑 板의 균형을 유지하기 위하여 平衡무게를 設置하여 微小調整이 可能한 構造로 제작하였다.

5. 4. 샤도우 모아레(Shadow Moire)

뒹 曲線에서 各 方向의 수직變位  $\xi$ 를 測定하기 위하여 Fig. 8과 같은 샤도우 모아레 光學系를 製作하여 使用하였다.

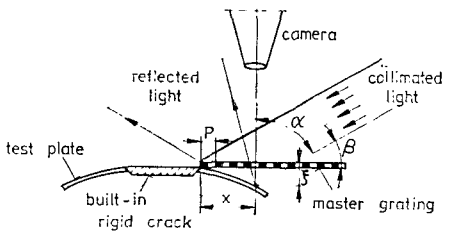


Fig. 8. Schematic diagram of shadow moire's optical system.

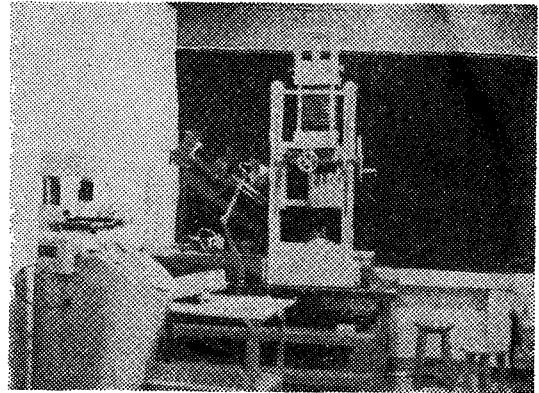
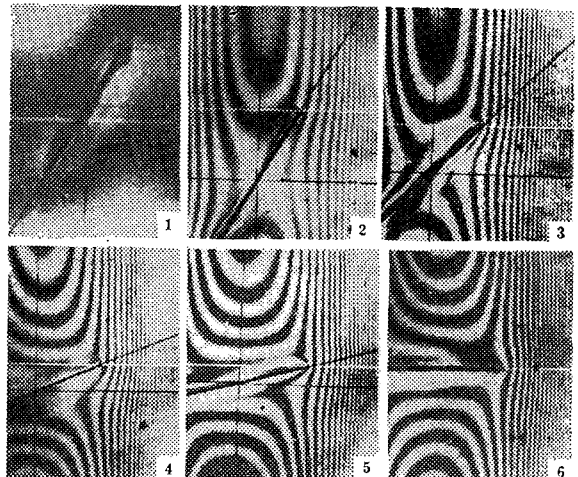


Fig. 9 Optical system of shadow moire.

여기서 Pitch를  $P$ , 平行 入射 光線과 寫眞機光輔사이의 角을  $\alpha$ , 무늬수(fringe number)를  $N$ 라 하면 수직變位  $\xi$ 는

$$\xi = \frac{PN}{\tan \alpha} \tag{22}$$

로 表示할 수 있다.<sup>5)</sup> 光學係에 使用된 光源은 150W, 하로겐 램프(halogen lamp)이고 光源에서 發生되는 빛은 일단 集光렌즈로 集光하여  $\phi 48\text{mm}$ 의 視野렌즈를 통과시켜 平行光線으로 만들었다. 使用된 마스터 格子板(Master grating)은 平行線을 평탄한 유리에 복사한 것을 使用하였으며 그 피치(pitch)는 0.1mm이다. Fig. 10은 촬영된 모아레 무늬(moire fringe)를 例示한 것이다.



- 1. Initial deformation,
- 2.  $\beta = 30^\circ$ ,
- 3.  $\beta = 45^\circ$ ,
- 4.  $\beta = 68^\circ$ ,
- 5.  $\beta = 75^\circ$ ,
- 6.  $\beta = 90^\circ$

Fig. 10 Moire fringe patterns ( $\frac{2a}{W} = 0.2$ ).

5. 測定 方法

變位  $\xi$ 의 原點을 均열先端으로 하고 各 무늬까지의 거리  $x, x', y'$ 는 촬영된 모아테 무늬 사진을 디지털 마이크로미터(digital micrometer)가 부착된 投影測定機(Fig. 11 참조)를 使用하여  $\frac{1}{1000}$ mm 까지 精밀 測定을 하였다.

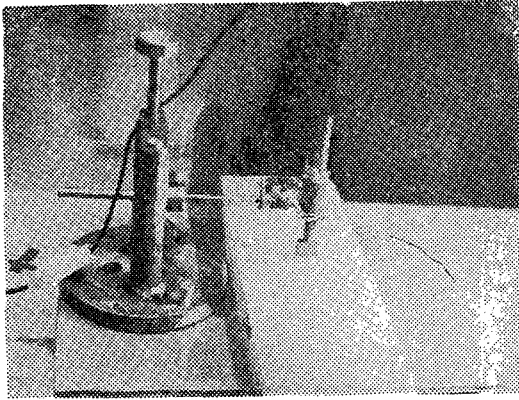


Fig. 11 Profile projector.

式 (18) 및 式 (21)에서의 各 方向의 曲率半徑  $R_x'$  및  $R_y'$ 는 Saint Venant의 原理에 의하여 均열에서 充分히 떨어진 遠方에서의 曲率半徑에 해당한다.  $x$  方向의 曲率半徑  $R_x$ 는 均열에서 充分히 떨어진 位置에서의 slab의 變位曲線은 圓이 되므로

$$\frac{S}{2R_x} - \sin\left(\frac{W}{2R_x}\right) = 0 \tag{23}$$

에서 求할 수 있다. 여기서  $W$ 는 試驗片의 幅이며,  $S$ 는 翹 曲線의 纒의 길이 이다. 또  $R_x'$ 는  $y$  軸과  $\beta$ 의 角을 이루는  $x'$  方向의 曲率半徑이고,  $R_y'$ 는  $x'$  方向에 수직인 方向, 曲率半徑이므로 그 斷面형상은 橢圓이 되고, 曲率半徑은 다음 式에서 決定할 수 있다.

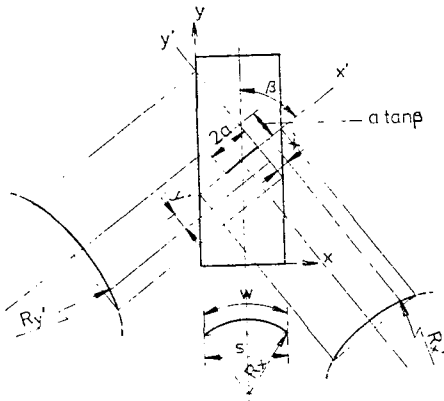


Fig. 12 Graphical representation of  $R_x, R_x'$  and  $R_y'$  determination.

$$R_x' = \frac{\sin \beta \left\{ \frac{R_x^2}{\sin^2 \beta} - \cos^2 \beta (a+x') \right\}^{\frac{3}{2}}}{R_x^2} \tag{24}$$

$$R_y' = \frac{\cos \beta \left\{ \frac{R_x^2}{\cos^2 \beta} - \sin^2 \beta (a \tan \beta + y') \right\}^{\frac{3}{2}}}{R_x^2}$$

여기서  $a$ 는 均열길이의  $\frac{1}{2}$ 이고,  $x'$  및  $y'$ 는 均열先端에서 各 方向으로  $N$ 次까지의 거리를 나타낸다.

6. 實驗結果 및 고찰

中央에 直線均열 ( $\beta=90^\circ$ )을 가진 有限板이 均一引張應力  $\sigma_0$ 를 받을 경우 應力擴大係數  $K_I$  은<sup>6)</sup>

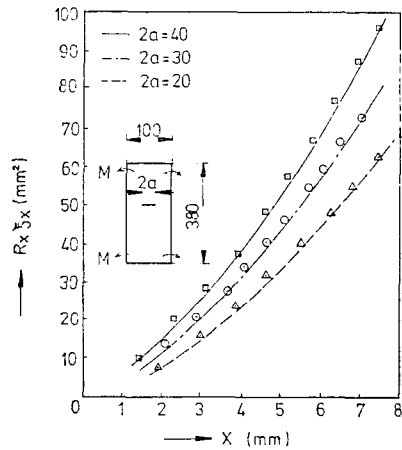


Fig. 13 Deflection curves of slab.

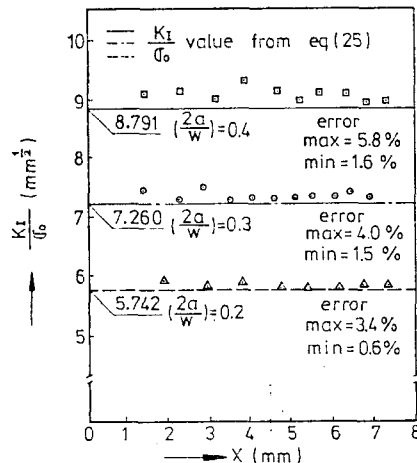


Fig. 14 Stress intensity factors by variation of crack length.

$$K_I = \sigma_0 \sqrt{\pi a} (1 - 0.025\zeta^2 + 0.06\zeta^4) \sqrt{\sec(\pi\zeta/2)} \quad (25)$$

에서 구할 수 있다. 여기서  $\zeta = \frac{2a}{W}$ 이다.

Fig. 13 및 Fig. 15는 기존의 解에서 얻은  $\frac{K_I}{\sigma_0}$  및  $\frac{K_{II}}{\sigma_0}$ 를 式 (18) 및 (21)에 代入하여 얻은 曲線과 사도우 모아레法으로 測定한 값을 比較한 圖表으로써 各 경우에 對해서 잘 一致하는 것을 볼 수 있다.

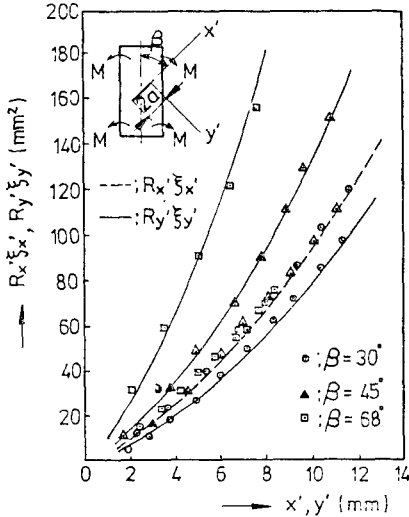


Fig. 15 Deflection curves of slab.

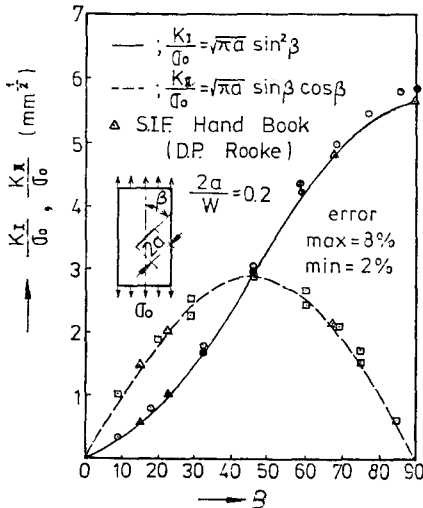


Fig. 16 Stress intensity factors by variation of inclined angle.

Fig. 14는 式 (25)에서 求한  $\frac{K_I}{\sigma_0}$ 과 實驗에서 求한 값을 比較한 圖表이고 Fig. 16은 試驗片의 幅  $W$ 와 균열의 길이  $2a$ 의 비  $\frac{2a}{W} = 0.2$ 인 경우에 對해서  $y$ 軸과 균열의 경사각  $\beta$ 의 變化에 따른  $\frac{K_I}{\sigma_0}$  및  $\frac{K_{II}}{\sigma_0}$ 를 나

타낸 圖表이다. 이 圖表에서 曲線은 경사 균열을 가진 無限板이  $\sigma_0$ 의 均一 引張應力을 받을 경우의  $\frac{K_I}{\sigma_0}$  및  $\frac{K_{II}}{\sigma_0}$ 의 理論值를 나타낸 값이고,  $\Delta$ 은 境界條件에 依한 Wilson의 研究結果를 나타낸 것이다.<sup>7)</sup>

式 (18) 및 (21)에서 求한 實驗值와 比較해 보면 最低 2%에서 最大 8%의 오차 범위 內에 든다. 實驗 오차를 줄이기 위해서 實驗 材料를 金屬 薄板을 使用하고 사도우 모아레 光學系 代身에 變位測定의 精密度가 더 높은 홀로그래피(holography)의 使用이 기대 된다.

### 7. 結 論

以上の 結果에서 아래와 같은 結論을 얻을 수 있다.

1) 光彈性 實驗이나 스트레인 게이지(strain gage)에 依한 測定에서 가장 큰 難點으로 알려진 加工 不均의 精密度不良과 工作의 어려움은 均열의 剛體로 바꾸어 놓음으로써 解決될 수 있다. 특히 이는 從來의 實驗에서 거의 不可能한 任意型狀의 均열製作이 可能하며, 均열先端의 銳利性도 充分히 保障할 수 있다.

2) 實驗精密度는 最低 2%에서 最大 8%以內로 決定할 수 있으며 光彈性 實驗法이나 기타 다른 方法보다 精密度가 떨어지지 않는다.

3) 實驗材料로서 金屬薄板의 使用이 可能하고, 變位  $\xi$ 의 測定의 精密度를 높이기 위하여 장차 홀로그래피 測定法의 併用 等を 기대할 수 있다.

4) 實驗裝置 및 試驗片의 실제 製作이 容易하며 實驗에 所要되는 時間과 實驗 費用을 大幅 減감할 수 있다.

### 後 記

본 연구는 1981년도 문교부 학술 연구 조성비에 의하여 연구되었으며 이에 감사하는 바입니다.

### 參 考 文 獻

- 1) Sun Ho Choi, Analogous Measurement of Torsional Stress in the Vicinity of Crack Tips, Treatises of PP Symposium NDT, pp.251-264, 1978.
- 2) 崔 善浩, 北山英夫, 모アレ와 스라브アナロジー의 組合による 應力擴大係數의 實驗的 解析法, 日本機械學會關西支部論文集, 804-7, pp.160-162, 1980.
- 3) M. Hetenyi, Handbook of Experimental Stress

- Analysis, pp.703-827, John Wiley and Sons, 1950
- 4) I.J. Ryan, The Plate Analogy as a means of Stress Analysis, Proceeding of SESA, Vol. 5, No. 1, pp.7-27, 1952.
  - 5) A.J. Durelli, Moire Analysis of Strain, pp.251-255, Prentice-Hall, 1970.
  - 6) Tada, H, Paris, P.C. and Irwin, G.R., The Stress Analysis of Cracks Handbook, Del Research Corporation, 1973.
  - 7) D.P. Rooke and D.J. Cartwright, Compendium of Stress Intensity Factors, pp.73-75, Her Majesty's Station Office. London. 1976.